

Совершенствование процессов обработки в машиностроении. Пермь, 1990.

УДК 621.923

С.Н. Сухоруков, А.А. Якимов, Ф.В. Новиков (Одесский политехнический институт)

**ИССЛЕДОВАНИЕ ВЛИЯНИЯ КОЭФФИЦИЕНТА ШЛИФОВАНИЯ
НА РЕЖУЩУЮ СПОСОБНОСТЬ ПРЕРЫВИСТЫХ КРУГОВ**

Представлена математическая модель процесса абразивного резания, на основе которой получены соотношения, определяющие зависимость глубины шлифования от условий обработки, линейного износа зерен и др. Полученные зависимости подтверждены экспериментально.

Для обоснования путей повышения режущей способности прерывистых профильных шлифовальных кругов и дальнейшего управления процессом необходимо установить функциональную связь производительности обработки с параметрами режима шлифования, характеристикой круга и физико-механическими свойствами обрабатываемого материала. Исходя из расчетной схемы (рис. I), в которой рабочая поверхность круга представлена множеством элементарных слоев бесконечно малой толщины $d'y_s$, содержащих одинаковое число вершин зерен, а зона контакта обрабатываемой детали и круга имеет вид тонкой элементарной пластины толщиной dl , можно найти элементарную тангенциальную составляющую силу резания:

$$dP_z = P_i \cdot d'n_s, \quad (I)$$

где P_i - сила резания, действующая на отдельное зерно при удалении бесконечно тонкого слоя снимаемого припуска $d'y_s$;

$d'n_s$ - число одновременно работающих зерен.

$$P_i = S_i \cdot G_i, \quad d'n_s = 0,44 \cdot n_0 \cdot f(y_s) d'y_s.$$

Здесь S_i - площадь поперечного сечения единичного среза, m^2 ;

G_i - условное напряжение шлифования зернами $d'y_s$ -го элементарного слоя, N/m^2 ;

n_0 - число зерен, расположенных на площади $B \times dl$,

$f(y_s)$ - плотность распределения высот выступания зерен над уровнем связки.

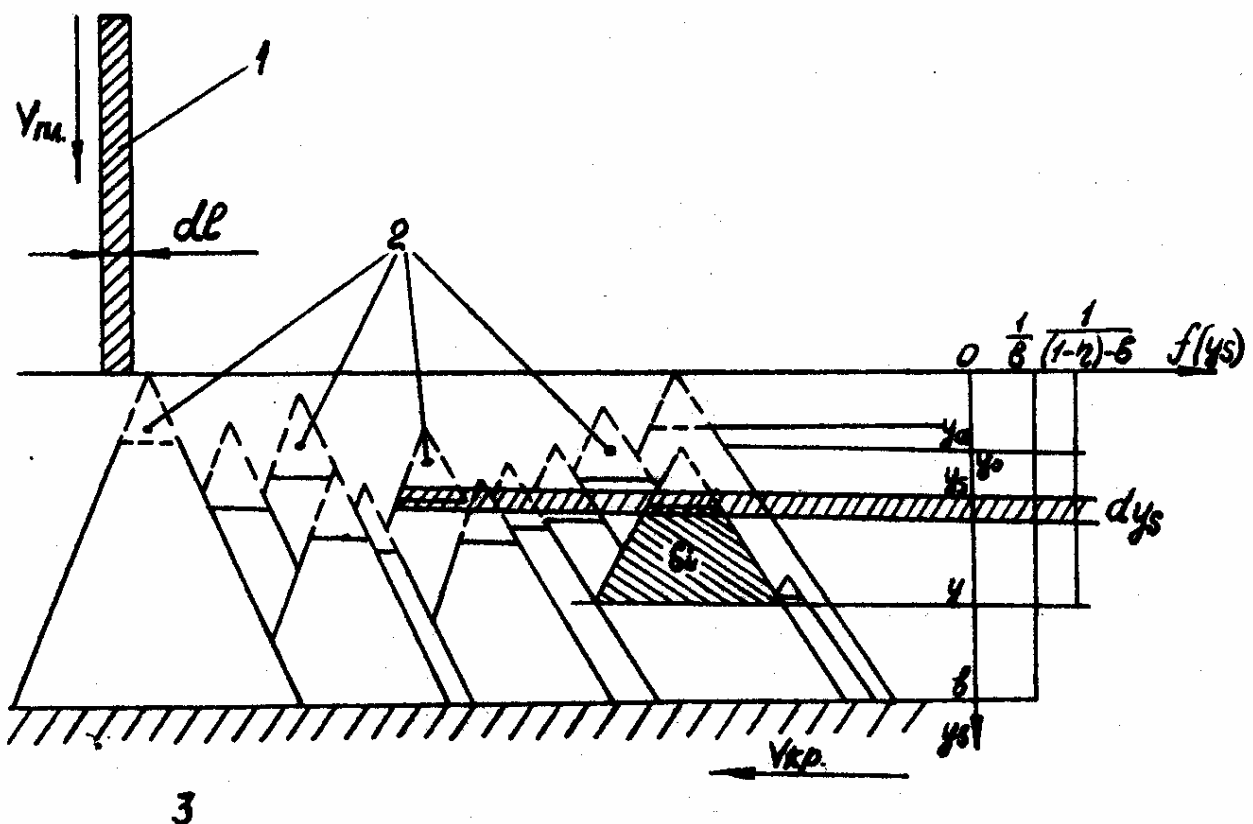


Рис. I. Расчетная схема для определения функциональной связи производительности обработки с параметрами режима шлифования:
 1 - пластина; 2 - изношенная часть режущих зерен

$$G_i = \frac{A}{(Y - Y_s)^n}, \quad n_0 = K \cdot B \cdot d \cdot l, \quad f(Y_s) = \frac{1}{(1 - 2) \cdot 6},$$

где A - параметр, определяющий прочностные свойства материала (устанавливается расчетно-экспериментальным путем);
 n - коэффициент, характеризующий энергоемкость шлифования ($n = 0,85 \dots 0,89$);
 K - поверхностная концентрация зерен, шт./м²;
 B - ширина шлифования, м;
 l - параметр, характеризующий степень затупления зерен ($l = 0 \dots 1$);
 b - максимальная высота выступания зерен над связкой круга, м.

Соответствующая площади трапеции (см. рис. I) величина

$$S_i = \operatorname{tg} \gamma \cdot [(y - y_o)^2 - (y_s - y_o)^2],$$

где y_o - координата вершины неизношенного зерна слоя dy_s , м;
 γ - половина угла при вершине зерна.

С учетом

$$(y - y_o) = \frac{(y_s - y_o)}{\zeta}, \quad (y_s - y_o) = \frac{\zeta}{(1-\zeta)} (y - y_s) \quad (2)$$

имеем

$$S_i = \operatorname{tg} \gamma \frac{(1-\zeta^2)}{(1-\zeta)^2} \cdot (y - y_s)^2. \quad (3)$$

Окончательно

$$d\rho_z = \frac{0,44 \cdot K \cdot B \cdot \operatorname{tg} \gamma \cdot A (1-\zeta^2) \cdot d\ell}{(1-\zeta)^3 \cdot B} (y - y_s)^{(2-n)} dy_s. \quad (4)$$

Суммарную ρ_z от всех элементарных горизонтальных слоев получим суммированием $d\rho_z$ в пределах $y_a \dots y$:

$$\rho_z = \int_{y_a}^y d\rho_z \frac{0,44 \cdot \operatorname{tg} \gamma (1-\zeta^2) \cdot K \cdot B \cdot A \cdot d\ell}{(1-\zeta)^3 \cdot (3-n) \cdot B} (y - y_a)^{(3-n)}. \quad (5)$$

Принимая $(y - y_a) = (1-\zeta) \cdot y$, получим

$$\rho_z = \frac{0,44 \cdot \operatorname{tg} \gamma (1-\zeta^2) \cdot K \cdot B \cdot A \cdot d\ell}{(1-\zeta)^n \cdot (3-n) \cdot B} \cdot y^{(3-n)}. \quad (6)$$

Координата y в данном случае равна параметру H / I .

$$H = \sqrt[3]{\frac{6,9 \cdot B \cdot V_{pl}}{\operatorname{tg} \gamma \cdot K \cdot V_{kr} (1-\zeta^2)}}, \quad (7)$$

где V_{kr} , V_{pl} - скорости круга и образца, м/с.

После подстановки (7) в (6) имеем

$$\rho_z = \frac{0,44 \cdot A \cdot B}{(3-n)} \left[\frac{\operatorname{tg} \gamma \cdot K \cdot (1+\zeta)}{(1-\zeta)^2 \cdot B} \right] \cdot \left(\frac{6,9 \cdot V_{pl}}{V_{kr}} \right)^{\frac{n}{3}} d\ell. \quad (8)$$

Зависимость (8) связывает ρ_z с режимом шлифования, характеристиками круга и заготовки, а также с величиной линейного износа зерен,

определенной параметром ζ . Как видим, по мере износа зерен, в связи с увеличением ζ , сила резания возрастает. Так как ζ может изменяться в пределах 0...1, то и сила резания P_z с течением времени шлифования по мере износа зерен круга может возрастать в значительных пределах. Выразим скорость радиально движущейся пластины V_{pl} через скорость заготовки при плоском шлифовании $V_{заг}$ (рис. 2):

$$V_{pl} = V_{заг} \cdot \sin \alpha = V_{заг} \frac{\sqrt{2 \cdot R \cdot t}}{R} = V_{заг} \sqrt{\frac{2 \cdot t}{R}},$$

где t - глубина шлифования, м;

R - радиус шлифовального круга, м;

ℓ - ширина зоны контакта шлифовального круга с заготовкой, м; $\ell = \sqrt{2 \cdot R \cdot t}$.

Определим силу P_z для схемы плоского шлифования. Снимаемый припуск представим пакетом элементарных слоев бесконечно малой толщины dl (рис. 3). Тогда

$$V_{pl} = V_{заг} \sqrt{\frac{2 \cdot t_r}{R}},$$

где t_r - глубина шлифования текущего элементарного слоя, м;

$$\ell_r = \sqrt{2 \cdot R \cdot t_r}.$$

Выразим t_r через координату входа текущего элементарного слоя ℓ_r в рабочую поверхность круга:

$$t_r = \frac{\ell_r^2}{2 \cdot R}.$$

Тогда

$$V_{pl} = V_{заг} \frac{\ell_r}{R}.$$

Силу резания P_z получим суммированием сил резания для всех элементарных слоев припуска:

$$P_z = \int_0^l \frac{0.44 \cdot A \cdot B}{(3-n)} \left[\frac{t_g f \cdot K \cdot (1+2)}{(1-2)^2 \cdot B} \right]^{\frac{n}{3}} \cdot \left(\frac{6.9 \cdot V_{заг} \cdot \ell_r}{V_{Kp} \cdot R} \right)^{\frac{(3-n)}{3}} \cdot dl_r. \quad (9)$$

После интегрирования

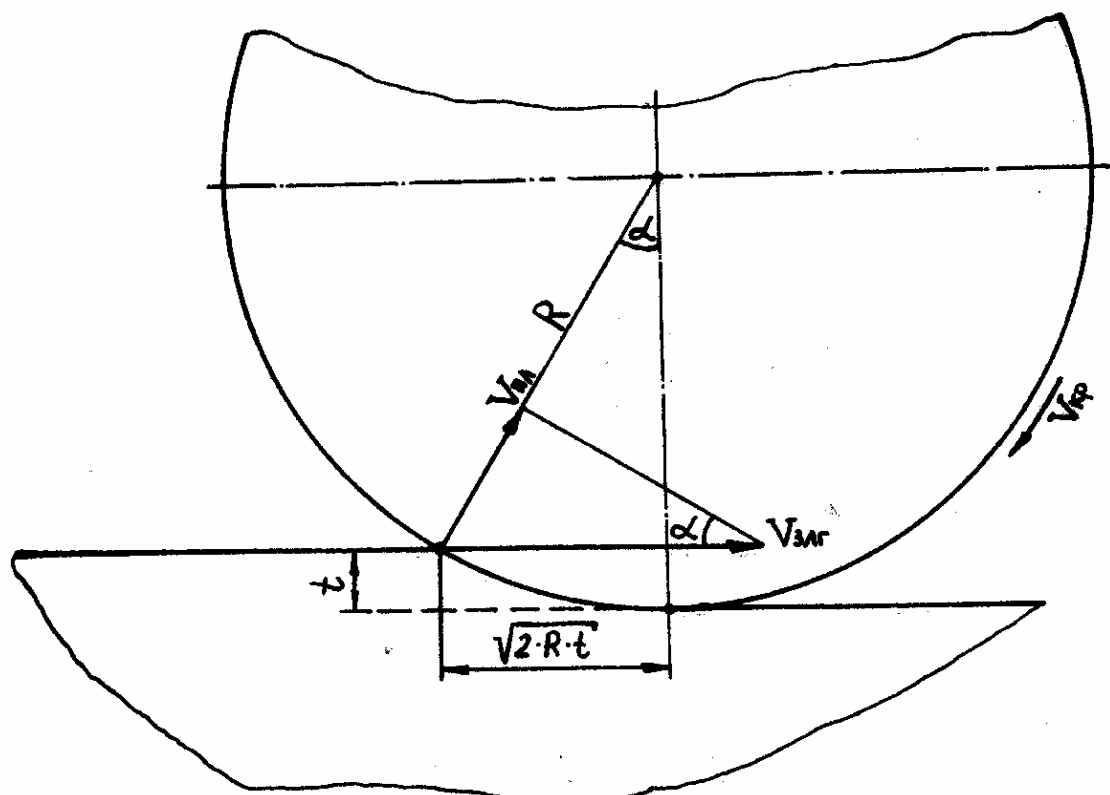


Рис. 2. Расчетная схема для определения скорости радиального внедрения зерен шлифовального круга в металл

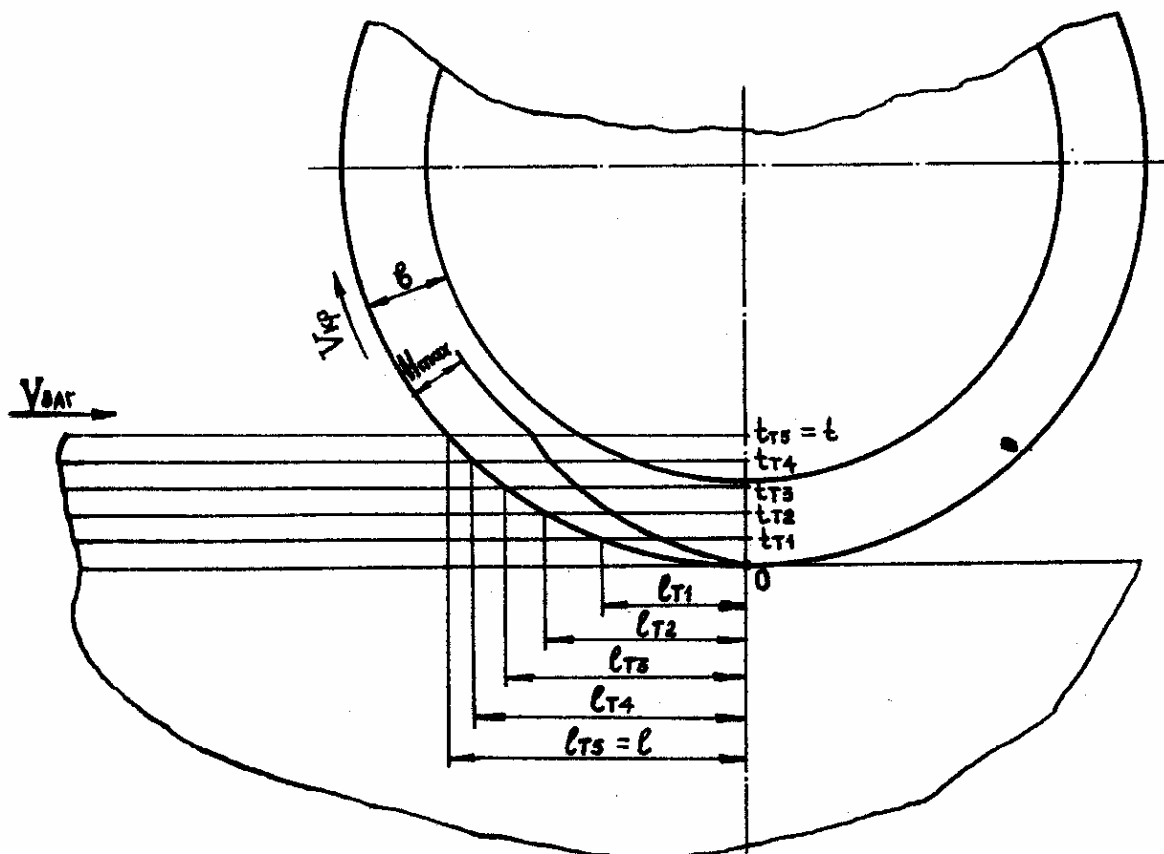


Рис. 3. Расчетная схема для определения элементарных глубин внедрения зерен в пределах зоны контакта

$$\rho_z = \frac{1,32 \cdot A \cdot B}{(3-n)(6-n)} \left[\frac{\operatorname{tg} \gamma \cdot K \cdot (1+\zeta)}{(1-\zeta)^2 \cdot B \cdot \sqrt{R}} \right]^{\frac{n}{3}} \cdot \left(\frac{6,9 V_{заг}}{V_{кр}} \right)^{\frac{(3-n)}{3}} \cdot (2 \cdot t)^{\frac{(6-n)}{6}} . \quad (10)$$

С учетом известных зависимостей /5/

$$K = \frac{3 \cdot m \cdot (1-\varepsilon)}{200 \cdot \pi \cdot \bar{x}^2}, \quad B = (1-\varepsilon) \cdot \bar{x},$$

где m - объемная концентрация зерен, %;

\bar{x} - зернистость круга, м;

$(1-\varepsilon)$ - коэффициент, учитывающий высоту выступания зерен над связкой,

$$\rho_z = \frac{1,32 \cdot A \cdot B}{(3-n)(6-n)} \left[\frac{\operatorname{tg} \gamma \cdot m \cdot (1+\zeta)}{66,666 \cdot \pi \cdot \bar{x}^3 \cdot (1-\zeta)^2 \cdot \sqrt{R}} \right]^{\frac{n}{3}} \cdot \left(\frac{6,9 V_{заг}}{V_{кр}} \right)^{\frac{(3-n)}{3}} \cdot (2 \cdot t)^{\frac{(6-n)}{6}} . \quad (II)$$

Приимая радиальную составляющую силы резания в виде

$$\rho_y = \frac{\rho_z}{K_w} \quad (I2)$$

(K_w - коэффициент резания при шлифовании) глубину шлифования с использованием зависимости (II) выражим следующим образом:

$$t = \left[\frac{(3-n)(6-n) \cdot K_w \cdot \rho_y}{1,32 \cdot A \cdot B} \right]^{\frac{6}{(6-n)}} \cdot \left[\frac{66,666 \cdot \pi \cdot \bar{x}^3 \cdot (1-\zeta)^2 \cdot \sqrt{R}}{\operatorname{tg} \gamma \cdot m \cdot (1+\zeta)} \right]^{\frac{2n}{(6-n)}} \cdot \left(\frac{V_{кр}}{6,9 \cdot V_{заг}} \right)^{\frac{2(3-n)}{(6-n)}} \cdot \frac{1}{2} . \quad (I3)$$

Из зависимости (I3) видно, что по мере увеличения параметра ζ вследствие затупления круга глубина шлифования, а соответственно и производительность обработки уменьшается и при $\zeta \rightarrow 1$ стремится к нулю. Следовательно, необходимым условием повышения производительности обработки является поддержание в процессе шлифования параметра ζ на заданном уровне.

Установим связь параметра ζ с коэффициентом резания K_w и коэффициентом трения f . Воспользуемся силовой расчетной схемой /3/, приведенной на рис. 4, где $R = \rho_z + \rho_y$, $\rho_z = \rho_{z \cdot 3} + \rho_{z \cdot tr}$, $\rho_y = \rho_{y \cdot s} + \rho_{y \cdot tr}$, $\rho_s = \rho_s + \rho_n$.

В этих выражениях

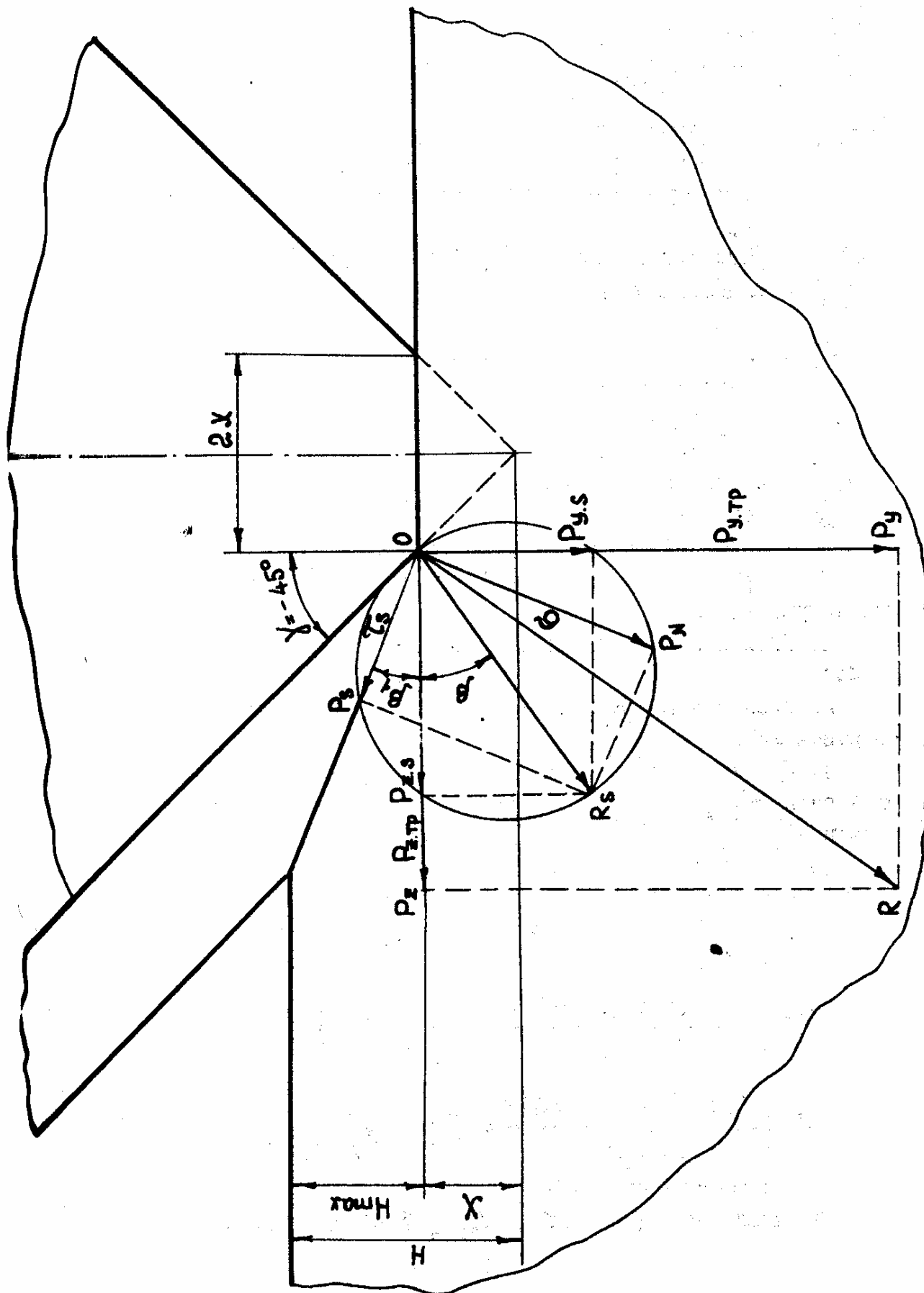


Рис. 4. Статическая расчетная схема

- R - сила резания;
 P_x - тангенциальная составляющая силы резания;
 P_y - радиальная составляющая силы резания;
 $P_{x,s}$ - тангенциальная сила от напряжений пластического сдвига
(с учетом трения стружки о переднюю грань зерна);
 $P_{x,tr}$ - тангенциальная сила от трения металла о площадку износа
зерна;
 $P_{y,s}$ - радиальная сила от нормальных напряжений;
 $P_{y,tr}$ - радиальная сила от трения металла о площадку износа
зерна;
 R_s - равнодействующая от силы пластического деформирования
срезаемого слоя;
 P_s - сила сдвига;
 P_N - нормальная сила;
 τ_s - касательное напряжение сдвига;
 σ - нормальное напряжение;
 $2 \cdot X$ - величина площадки износа зерна.

Схема резания стружки одним зерном (см. рис. 4) имеет следующие допущения /3/:

1. Угол при вершине зерна равен 90° . Передний угол зерна $f = -45^\circ$.

2. Угол сдвига β , не зависит от толщины среза H_{max} и примерно равен 22° .

3. При изменении толщины среза H_{max} пропорционально изменяются силы $P_{y,s}$ и $P_{x,s}$ (при сохранении неизменным их отношения), а силы $P_{y,tr}$ и $P_{x,tr}$ остаются постоянными.

4. При изменении площадки затупления зерна $2 \cdot X$ пропорционально изменяются силы $P_{y,tr}$ и $P_{x,tr}$ (при сохранении неизменным их отношения), а силы $P_{y,s}$ и $P_{x,s}$ остаются постоянными.

Силы P_y и P_x можно рассчитать по следующим формулам /3/:

$$P_x = \left(\frac{\sqrt{3,25} \cdot H_{max} \cdot \cos \beta}{\sin \beta} + 0,5 \cdot f \cdot 2 \cdot X \right) \cdot \tau_s, \quad (14)$$

$$P_y = \left(\frac{\sqrt{3,25} \cdot H_{max} \cdot \sin \beta}{\sin \beta} + 0,5 \cdot 2 \cdot X \right) \cdot \tau_s, \quad (15)$$

где f - коэффициент трения.

Учитывая, что $X = 2 \cdot H$, $H_{max} = H - X$, получим

$$K_w = \frac{P_1}{P_y} = \frac{\sqrt{3,25} \cdot \cos \beta - \sqrt{3,25} \cdot \zeta \cdot \cos \beta + f \cdot \zeta \cdot \sin \beta_1}{\sqrt{3,25} \cdot \sin \beta - \sqrt{3,25} \cdot \zeta \cdot \sin \beta + \zeta \cdot \sin \beta}, \quad (I6)$$

Решая (I6) относительно ζ , определим

$$\zeta = \frac{K_w \sqrt{3,25} \cdot \sin \beta - \sqrt{3,25} \cdot \cos \beta}{f \cdot \sin \beta - \sqrt{3,25} \cdot \cos \beta + K_w \sqrt{3,25} \cdot \sin \beta - K_w \cdot \sin \beta}. \quad (I7)$$

После преобразований выражения (I7) получим

$$(1-\zeta) = \frac{\sin \beta_1 \cdot (f - K_w)}{\sin \beta \cdot (f - K_w) - \sqrt{3,25} \cdot (\cos \beta - K_w \cdot \sin \beta)}, \quad (I8)$$

$$(1+\zeta) = \frac{\sin \beta_1 \cdot (f - K_w) - 2 \sqrt{3,25} \cdot (\cos \beta - K_w \cdot \sin \beta)}{\sin \beta \cdot (f - K_w) - \sqrt{3,25} \cdot (\cos \beta - K_w \cdot \sin \beta)}, \quad (I9)$$

$$\frac{(1-\zeta)^2}{(1+\zeta)} = \frac{\sin^2 \beta_1 \cdot (K_w - f)^2}{[\sin \beta_1 \cdot (K_w - f) + \sqrt{3,25} \cdot (\cos \beta - K_w \cdot \sin \beta)] \cdot [\sin \beta_1 \cdot (K_w - f) + 2 \sqrt{3,25} \cdot (\cos \beta - K_w \cdot \sin \beta)]} \quad (20)$$

Из работы /3/ известно, что

$$\frac{P_N}{P_s} = \frac{G}{\tau_s} = \operatorname{tg}(\beta_1 + \beta) = 1,5,$$

$$(\beta_1 + \beta) = 56^\circ 18'.$$

Угол сдвига β_1 можно определить из следующей зависимости /3/:

$$\operatorname{tg} \beta_1 = \frac{\cos \beta + 0,05 \mu}{0,9 \mu - \sin \gamma}, \quad (21)$$

где μ - усадка стружки;

γ - передний угол режущей кромки.

Так как шлифование происходит при больших скоростях резания, то усадка стружки здесь меньше, чем при обычном резании лезвийным инструментом. При переднем угле $\gamma = -45^\circ$ и нагреве слоев стали до высокой температуры, при которой пластичность сталей возрастает, усадка стружки будет колебаться в небольших пределах ($\mu = 1,1 \dots 1,5$) /3,4,6/. Тогда $\beta_1 \approx 22^\circ$, $\beta = 56^\circ 18' - 22^\circ 18'$. При этих значениях узлов β и β_1 отношение $\frac{(1-\zeta)^2}{(1+\zeta)}$ примет вид

$$\frac{(1-\zeta)^2}{(1+\zeta)} =$$

(22)

$$0,1403 \cdot (K_w - f)^2$$

$$[0,3746(K_w - f) + 1,4893 - K_w \cdot 1,016] [0,3746(K_w - f) + 2,9789 - K_w \cdot 2,032]$$

После подстановки выражения (22) в формулу (13) получим

$$t = \frac{1}{2} \left[\frac{(3-n)(6-n)K_w \cdot P_u}{1,32 \cdot A \cdot B} \right]^{\frac{6}{(6-n)}} \cdot \left[\frac{V_{kp}}{6,9 \cdot V_{zagr}} \right]^{\frac{2(3-n)}{(6-n)}} \times$$

x $\frac{2n}{(6-n)}$ (23)

$$x \left[\frac{29,369 \cdot \bar{x}^3 \cdot \sqrt{R'} (K_w - f)^2}{m [0,3746(K_w - f) + 1,4893 - K_w \cdot 1,016] [0,3746(K_w - f) + 2,9789 - K_w \cdot 2,032]} \right].$$

Приведенная зависимость по-новому вскрывает сущность процесса шлифования по упругой схеме: в этом случае глубина резания t определяется не просто коэффициентом резания K_w или коэффициентом трения f , а их разностью ($K_w - f$), которая по мере затупления круга уменьшается.

Рассмотрим случай, когда $K_w = f$, т.е. разность ($K_w - f$) = 0.

Тогда

$$\frac{P_z}{P_y} = \frac{P_{z,TP}}{P_{y,TP}}, \quad \frac{P_{z,S} + P_{z,TP}}{P_{y,S} + P_{y,TP}} = \frac{P_{z,TP}}{P_{y,TP}}, \quad P_{z,S} = P_{y,S}.$$

Из рис. 4 видно, что при $P_{z,S} = P_{y,S}$ угол $\beta = 45^\circ$, а угол сдвига $\beta_s = 56^\circ 18' - 45^\circ = 11^\circ 18'$. Однако большая группа исследователей /3,4,6/ пришла к выводу, что при шлифовании стальных деталей угол сдвига $\beta \approx 22^\circ$. Это свидетельствует о том, что в реальных условиях шлифования разность ($K_w - f$) не может быть равной нулю или отрицательной.

Для выяснения характера изменения глубины шлифования t , силы резания P_z , коэффициента резания K_w , а также разности ($K_w - f$) с течением времени обработки были проведены эксперименты. Образцы из стали Р18 шириной 6 мм, длиной 150 мм обрабатывались на плоскошлифовальном станке модели ЗГ71М кругом III 200 x x 20 x 76 24A 40 С2 5 К6 врезным шлифованием на режиме $V_{kp} = 30$ м/с $V_{zagr} = 6$ м/мин при постоянной силе прижима образца к кругу $P_y = 60$ Н, без СОЖ. Результаты экспериментов сведены в табл. I (для

Таблица I

t , мин	$t \cdot 10^{-3}$, м	P_z , Н	K_w	$(K_w - f)$
0, II	0,037	21,1	0,480	0,280
0,5	0,013	22,4	0,373	0,173
1,0	0,008	21,5	0,358	0,158
2,0	0,006	19,9	0,300	0,100
3,0	0,005	16,4	0,273	0,073
5,0	0,003	15,4	0,256	0,056

$f = 0,2$), из которой видно, что вследствие затупления круга глубина шлифования уменьшилась в 12 раз, а коэффициент резания K_w , которым обычно характеризуют режущую способность круга, — лишь в 1,875 раза. Следовательно, используя только закономерность изменения K_w , нельзя обосновать причину столь значительного снижения t . По данным табл. I, основной причиной снижения t является интенсивное уменьшение разности параметров $(K_w - f)$. В течение 5 минут шлифования она уменьшилась в 5 раз.

Режущую способность шлифовальных кругов можно оценить по изменению параметра M , входящего в выражение (23):

$$M = K_w^{\frac{2-n}{n}} \left[\frac{(K_w - f)^2}{[0,3746(K_w - f) + 1,4893 - K_w \cdot 1,016][0,3746(K_w - f) + 2,9789 - K_w \cdot 2,032]} \right]^{\frac{2-n}{(6-n)}} \quad (24)$$

Для сравнительной оценки режущей способности сплошного и прерывистого кругов с течением времени шлифования были проведены эксперименты. Образцы из стали У8А шириной 3 мм, длиной 150 мм обрабатывались на плоскошлифовальном станке модели ЗИ71М сплошным и прерывистым (длина выступа 40 мм, длина впадины 25,5 мм) кругами НП 250 x 20 x 76 24A 25 СМ2 К6 врезным шлифованием на режиме $V_{kp} = 40$ м/с; $V_{ad2} = 8$ м/мин при постоянной силе прижима образца к кругу $P_y = 50$ Н, без СОЖ. Постоянная радиальная сила P_y обеспечивалась с помощью специального приспособления, представляющего собой корпус, внутри которого свободно перемещался ползун с закрепленным на нем образцом. Образец прижимался к кругу рычагом, один конец которого был связан с ползуном, а на второй конец подвешивался груз. Экспериментальные значения коэффициентов резания K_w , измеренные по мере затупления сплошного и прерывистого кругов, представлены в табл. 2. Параметр M (см.табл.2), рассчитанный по

Формуле (24) для $\alpha = 0,87$ и $f = 0,2$ характеризует режущую способность шлифовальных кругов с течением времени шлифования.

Таблица 2

t , мин	$K_{ш.сп}$	$K_{ш.пр}$	$M_{сп}$	$M_{пр}$	$\frac{M_{пр}}{M_{сп}}$
2	0,35	0,38	0,029432	0,037142	1,262
4	0,32	0,36	0,022680	0,031900	1,406
6	0,28	0,35	0,014370	0,029432	2,048
8	0,27	0,35	0,012519	0,029432	2,351
10	0,25	0,34	0,009031	0,027024	2,992
12	0,25	0,34	0,009031	0,027024	2,992
14	0,22	0,32	0,004102	0,022680	5,529

Отношение $\frac{M_{пр}}{M_{сп}}$ показывает, во сколько раз режущая способность прерывистого круга больше режущей способности сплошного круга. После 14-минутного периода шлифования режущая способность сплошного круга в 5,529 раза меньше режущей способности прерывистого круга (см.табл. 2).

Экспериментальные значения мощности, затрачиваемой нарезание при шлифовании обычным (N) и импрегнированным кругами

N_4 , приведены в табл. 3. Образцы из стали У8А шириной 3 мм, длиной 150 мм обрабатывались на плоскошлифовальном станке модели ЗГ7ИМ обычным и импрегнированным кругами ПП 250 x 20 x 76 24A 25 СМ2 К6 врезным шлифованием на режимах: $V_{kp} = 35$ м/с; $V_{зар} = 10$ м/мин $t = 0,02; 0,03; 0,04$ мм. В качестве импрегнатора применялся состав /2/, содержащий следующие компоненты (%):

Нитрид натрия	15-20
Сера	20-25
Диселенид молибдена	10-15
Минеральное масло	2-3
Полизобутилен	0,5-1,0
Стеариновая кислота	остальное.

Таблица 3

, мм	Вт		
0,02	220	150	0,682
0,03	350	250	0,714
0,04	650	450	0,692

Процесс шлифования импрегнированными кругами сопровождается меньшими энергозатратами (см.табл.3), так как в этом случае затрачивается меньше энергии на трение, чем при шлифовании обычным кругом. Коэффициент трения при шлифовании импрегнированным кругом f_H можно выразить через коэффициент трения при шлифовании обычным кругом f :

$$f_H = f \frac{N_H}{N} . \quad (25)$$

Определим среднее арифметическое трех значений отношения $\frac{N_H}{N}$, приведенных в табл. 3:

$$\frac{N_H}{N} = \frac{0,682 + 0,714 + 0,692}{3} = 0,696.$$

Если $f = 0,2$, то $f_H = 0,2 \cdot 0,696 = 0,14$.

В табл. 4 представлены значения разности $K_{ш.сп} - f$ для сплошного, прерывистого и прерывистого импрегнированного кругов и отношение этих разностей. Установлено, что импрегнированные прерывистые круги после 14-минутного периода шлифования имеют в 9 раз большую режущую способность, чем сплошные неимпрегнированные круги. Таким образом, импрегнирование прерывистых кругов позволяет дольше сохранить режущую способность кругов.

Таблица 4

t, мин	$K_{ш.сп}$	$K_{ш.пр}$	$K_{ш.сп} - f$	$K_{ш.пр} - f$	$K_{ш.пр} - f_H$	$\frac{K_{ш.пр} - f_H}{K_{ш.сп} - f}$
2	0,35	0,38	0,15	0,18	0,24	1,60
4	0,32	0,36	0,12	0,16	0,22	1,83
6	0,28	0,35	0,08	0,15	0,21	2,62
8	0,27	0,35	0,07	0,15	0,21	3,00
10	0,25	0,34	0,05	0,14	0,20	4,00
12	0,25	0,34	0,05	0,14	0,20	4,00
14	0,22	0,32	0,02	0,12	0,18	9,00

Библиографический список

- I. А.о. №1426756 А2 СССР. МКИ⁴ В24В 9/00. Способ глубинного шлифования цилиндрической детали / Ф.В. Новиков, А.А.Якимов (СССР). № 09521361; опубл. 20.04.86. Бюл. № 36.

Совершенствование процессов обработки в машиностроении. Пермь. 1990.

2. А.с. II88195 СССР. МКИ⁴ В 24 В20/00. Смазка для абразивной обработки металлов / А.В. Якимов, В.А. Шарков, Е.А. Волкова (СССР). № 4913351 ; заявл. 10.12.83. Бол. № 40.
3. Корчак С.Н. Производительность процесса шлифования стальных деталей. М.: Машиностроение, 1974. 280 с.
4. Мурдасов А.В. Исследование процесса обдирочного шлифования проката: Автореферат дис. ... канд.техн.наук. Л., 1968.
5. Резников А.Н. Абразивная и алмазная обработка материалов: Справочник. М.: Машиностроение, 1977. 390 с.
6. Филимонов Л.Н. Высокоскоростное шлифование. Л.: Машиностроение. 1979. 248 с.

Получено 01.12.88.